

Open-Minded

Abwasser Monitoring aktueller Stand und offene Chancen

Folker.Meyer@uk-essen.de

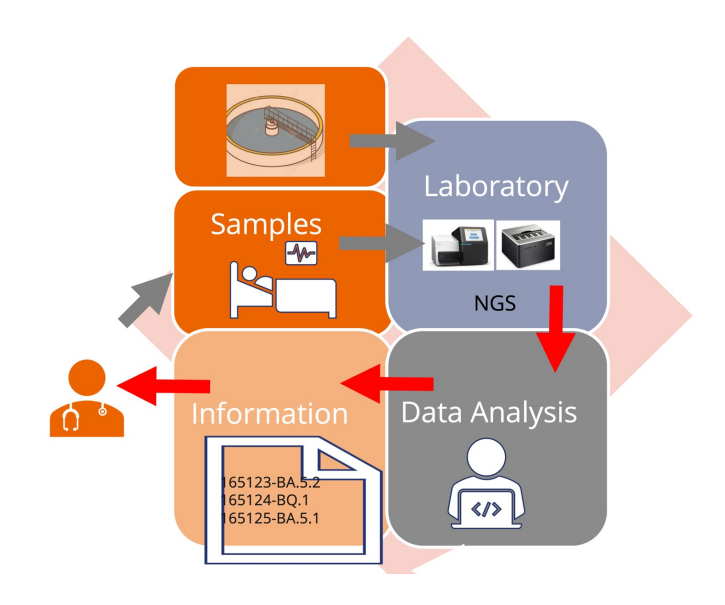
Universitätsmedizin Essen und Fakultät für Informatik Universität Duisburg-Essen



Wastewater Based Epidemiology Abwasser basierte Epidemiologie

2 Ansätze

- qPCR (oder ddPCR)
- Sequenzierung





Von Abwasser zu SARS-CoV-2 Varianten





Kraiselburd et al, STOTEN, 2023

Routine Überwachung

Abwassersurveillance zu SARS-CoV-2



AMELAG-Wochenbericht 22.11.2023

vom

Im Rahmen von AMELAG (Abwassermonitoring für die epidemiologische Lagebewertung) wird unter anderem die Viruslast von SARS-CoV-2 im Abwasser überwacht. Aktuell fließen Daten aus 101 Standorten, d.h. Kläranlagen, in die Analysen ein. Für die Kalenderwoche 46 liegen Daten aus 34 Standorten vor. Daten weiterer Standorte werden nachgeliefert.

Eine Bewertung der COVID-19-Lage erfolgt in Zusammenschau mit anderen Indikatoren im Wochenbericht zu akuten respiratorischen Erkrankungen (ARE-Wochenbericht).

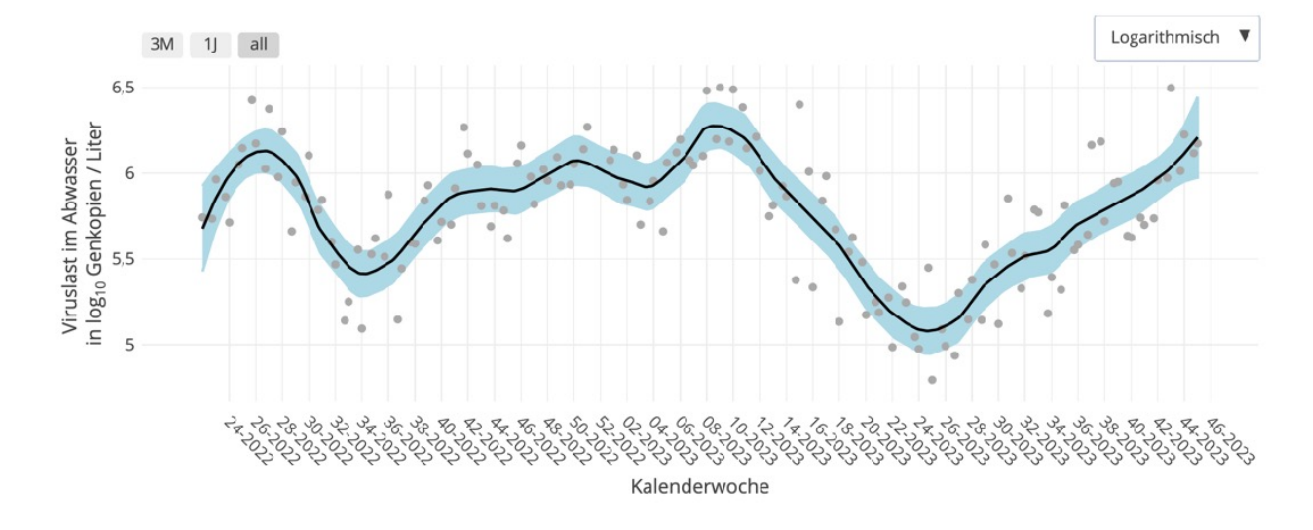
Der Verlauf der Viruslast im Abwasser wird für die einzelnen Standorte in Abbildung 1 dargestellt. Gezeigt werden die an einem Standort gemessenen, mittels Zehnerlogarithmus transformierten, normalisierten Viruslasten (graue Punkte), die dazugehörige Ausgleichskurve (schwarze Linie, mittels LOESS-Methode geschätzt) sowie der Unsichertheitsbereich in der Schätzung der Ausgleichskurve, berechnet als punktweise 95%-Konfidenzintervalle (hellblauer Bereich).

Standort:

Dinslaken

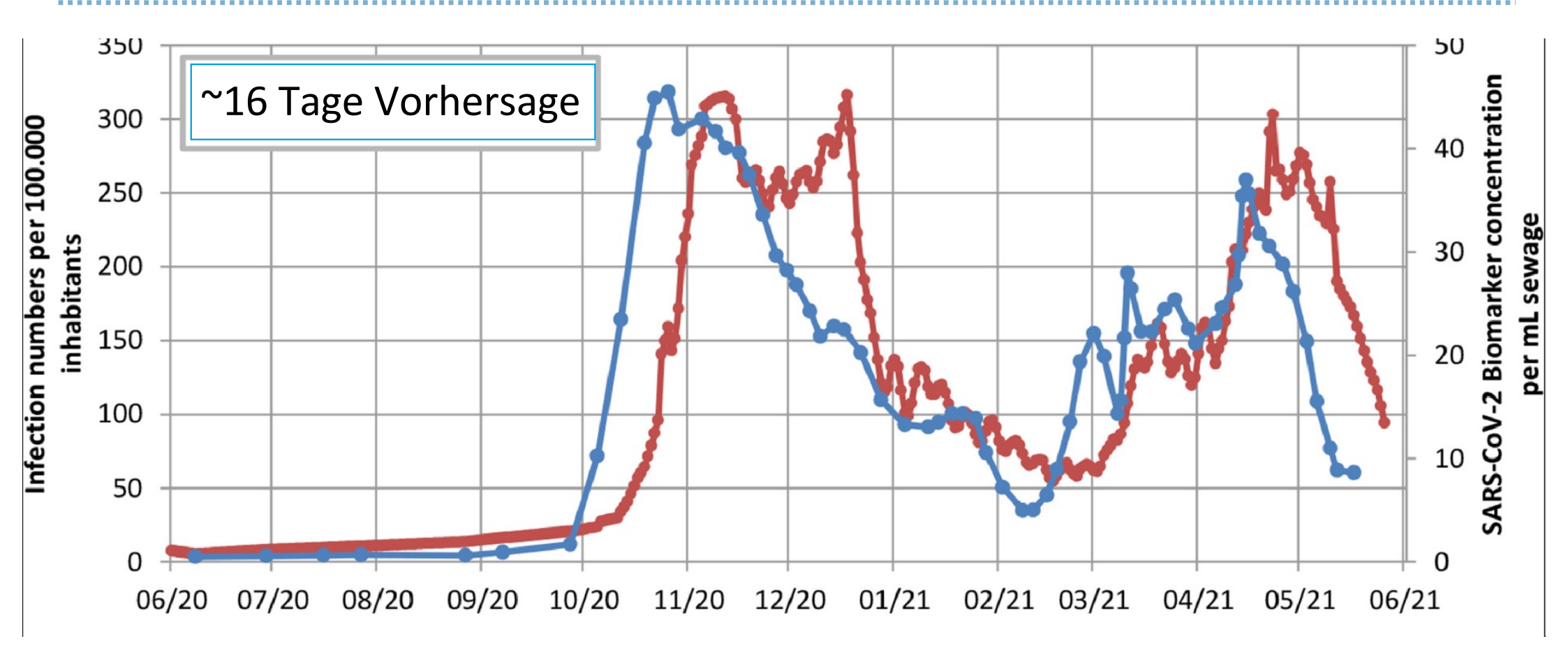
+

Quelle: **RKI**



Abwasser sagt Trends vorher

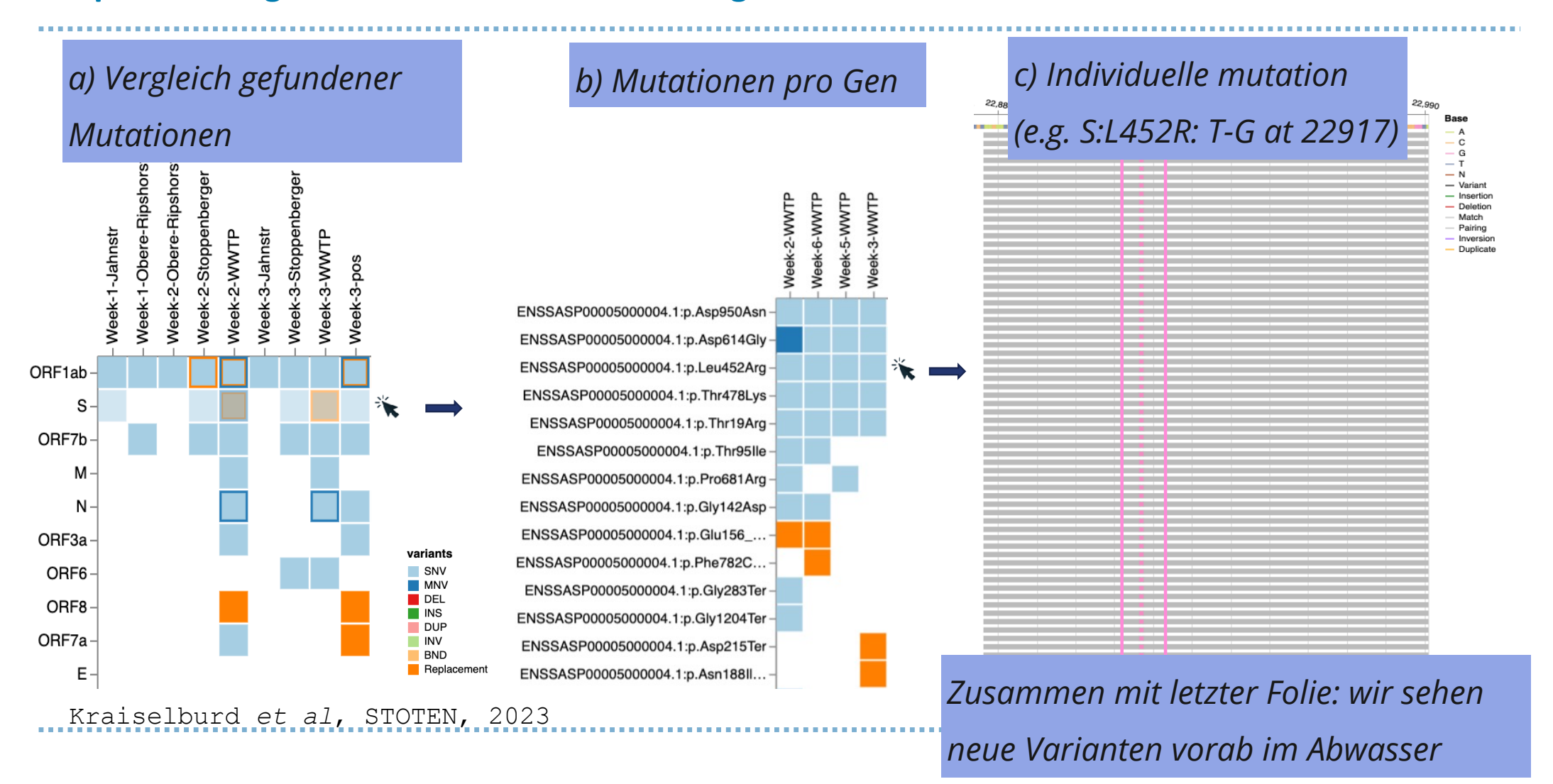




adapted from: Ho, et al Water Research 2022



Sequenzierung erlaubt Variantenerkennung





WBEready – technische Verbesserungen und ÖGD Einbindung

- SARS-CoV-2 Pandemie
- Abwassermonitoring
 - 03/2021 EU Mandat
- ESI-CorA (2022/23)
- AMELAG
- WBEready
 - VirenKit
 - AMRKit
- K.A.R.L (11/2024)
- qPCR primer
 - SARS, RSV A/B, Influenza A/B
 - AMR
- Evaluierung von qPCR vs. 16s vs. Shotgun
- ÖGD Anbindung



WBEready Besuch beim BMG

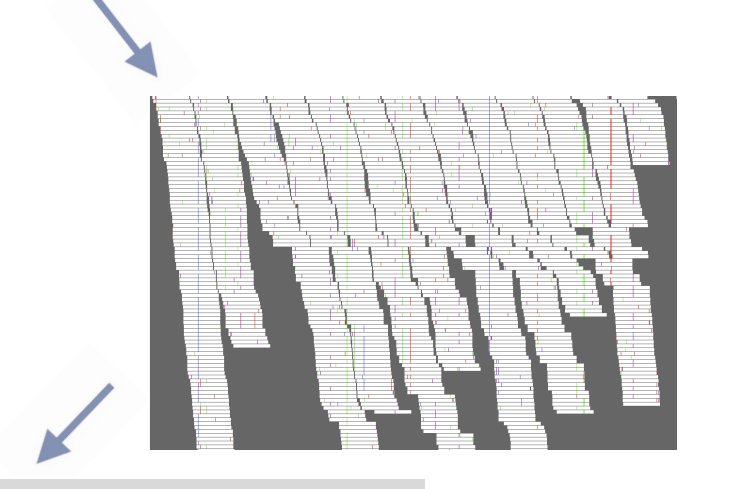
WBEready: DOI: 10.1055/s-0044-1781837

WW Surveillance: >150 Metagenome aus Abwasser im nördlichen Ruhrgebiet University Medicine Essen





| | Anzahl | AMR |
|------------|-------------|---------------|
| Basenpaare | 2.5 x 10^11 | - |
| Reads | 17 x 10^9 | 14 x 10^7 |
| Contigs | 88 x 10^7 | 0.05 - 0.187% |
| Bins | 25.000 | - |
| MAGs | 7000 | - |

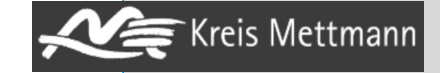


- 50.000 183.000 Contigs enthalten Resistenzgene
- Proben enthalten 375 880 verschiedene Resistenzgene
- Ohne Bias, keine Vorauswahl der Zielgene oder Organismen ("Discovery")





- Zeitraum: 19. August 23. September
- ~45,000 Einwohner
- Kleine Mittelstadt
- 2305 Hektar Fläche
- 50/50 Bebauung und Landwirtschaft
- Trennung Regenwasser
- jeweils eine Probe pro Woche (24h Mischprobe)
 - Kreis Mettmann:
 - Frau Dr. Susenburger
 - Herr A. Triebs



Meldungen im Zeitraum im Kreis

- 23 Covid-19 PatientInnen
- 2 MRE (Enterobacterales) PatientInnen
 - 1 Klebsiella Pneumoniae bestimmt
 - Resistenzen nur für einen Fall bestimmt

Vergleich 4 unterschiedlicher Verfahren



Infektionsschutzgesetz § 7

 Meldepflichtige Nachweise von Krankheitserregern

16S:

- Illumina MiSeq
- 86k-107k Sequenzen

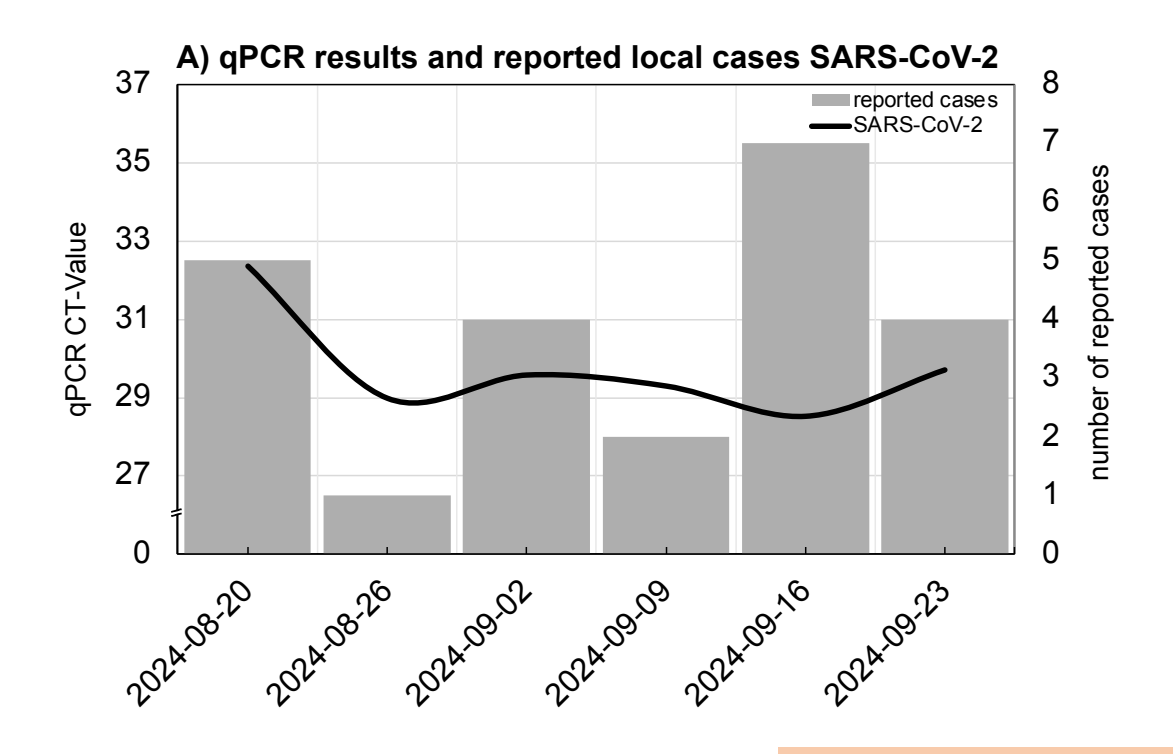
Shotgun Metagenom:

- Illumina NextSeq 2000
- 208 225 Millionen Sequenzen
- ~0.1% humane Sequenzen



Keine Korrelation für qPCR von SARS-CoV-2 und gemeldeten Fällen

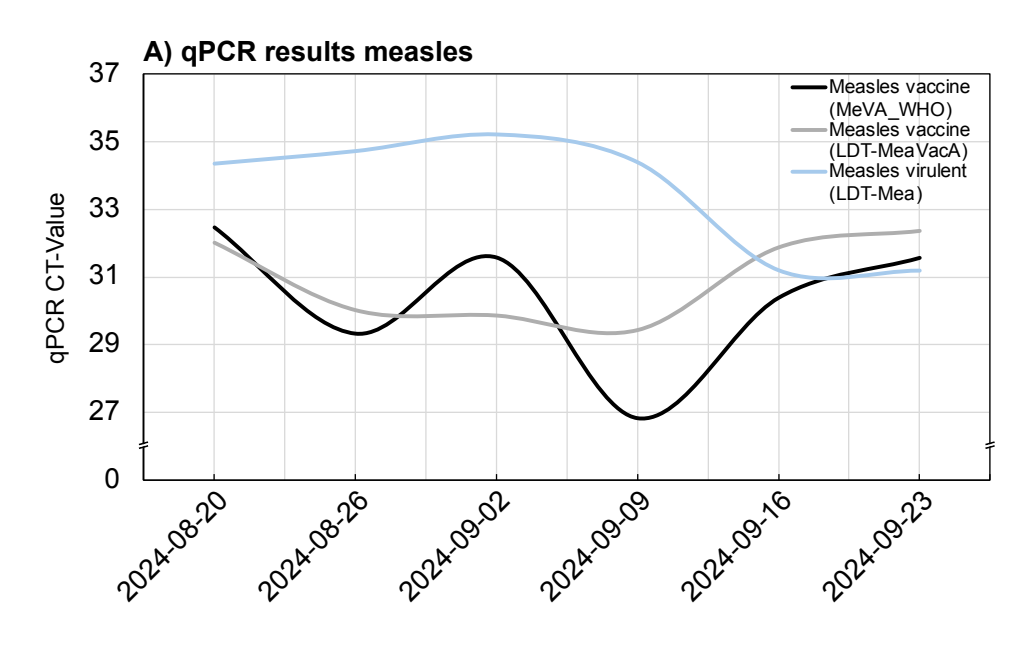
(WBEready Viren Kit)

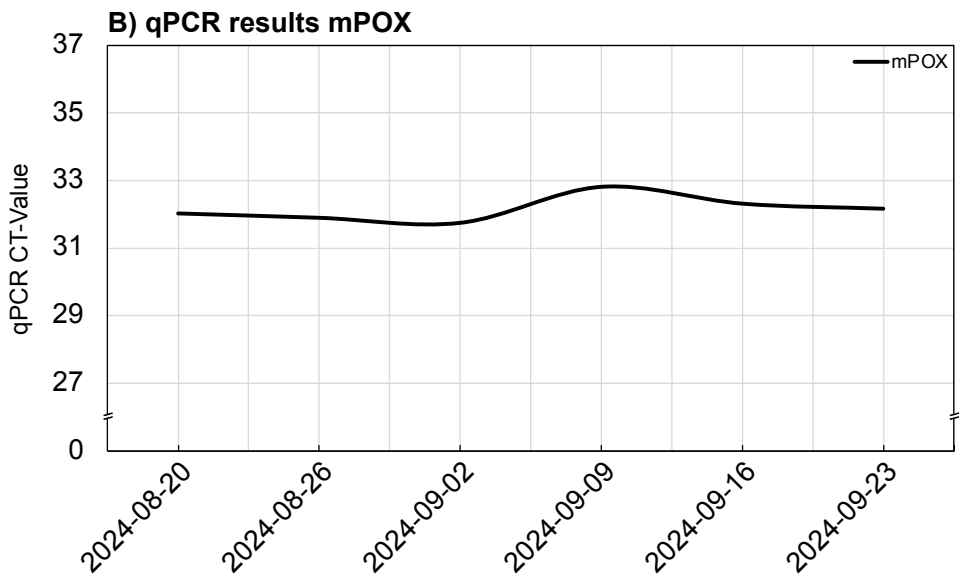


- SARS-CoV-2 gefunden
- keine Korrelation mit Meldungen
- nicht normalisiert

qPCR für Viren liefert Überraschungen







Gefunden:

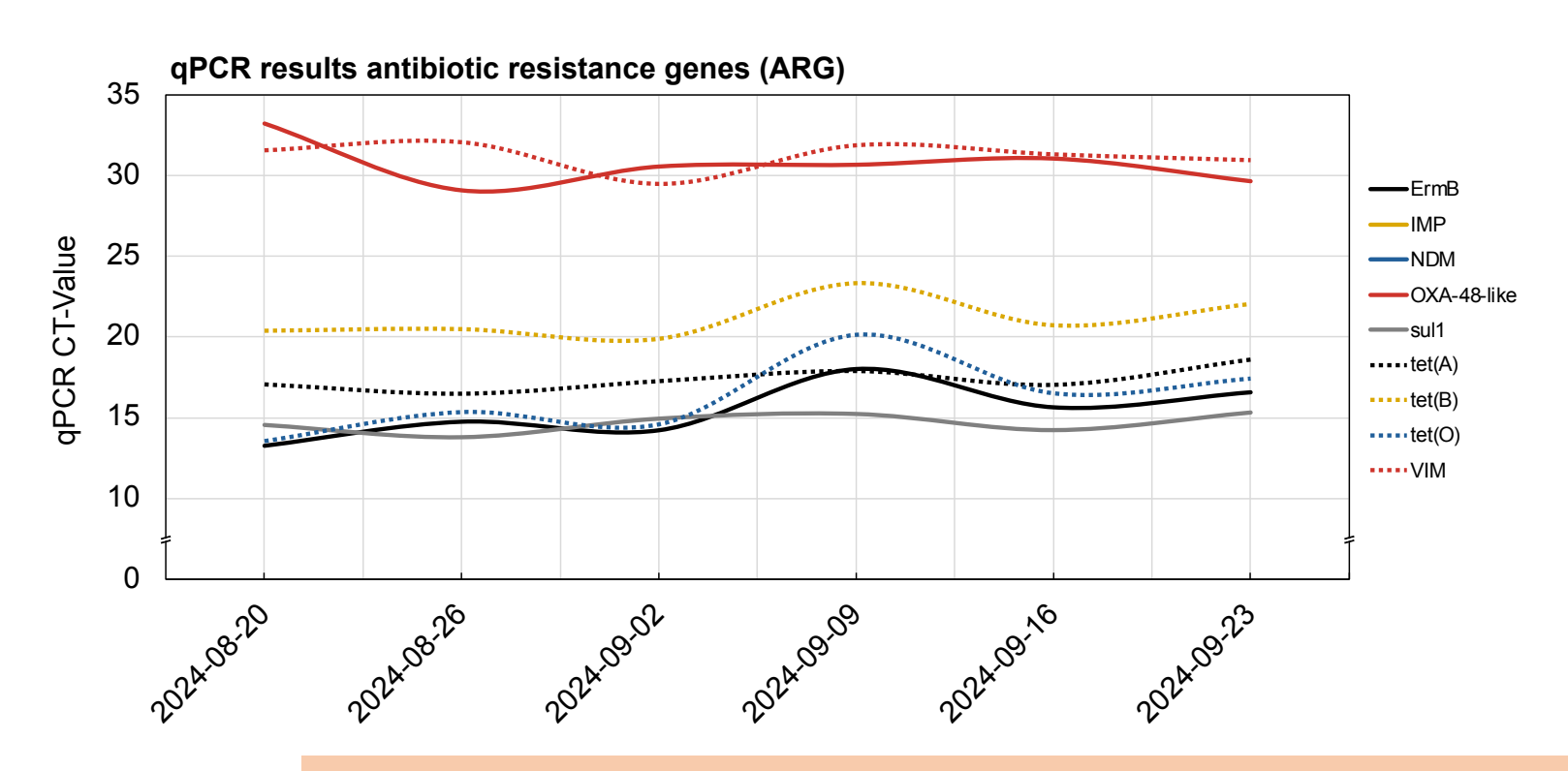
- Masern
- mPOX
- HPV und EBV

- Nicht Gefunden:

- Influenza A/B
- RSV A/B

qPCR für Antibiotikaresistenzgene

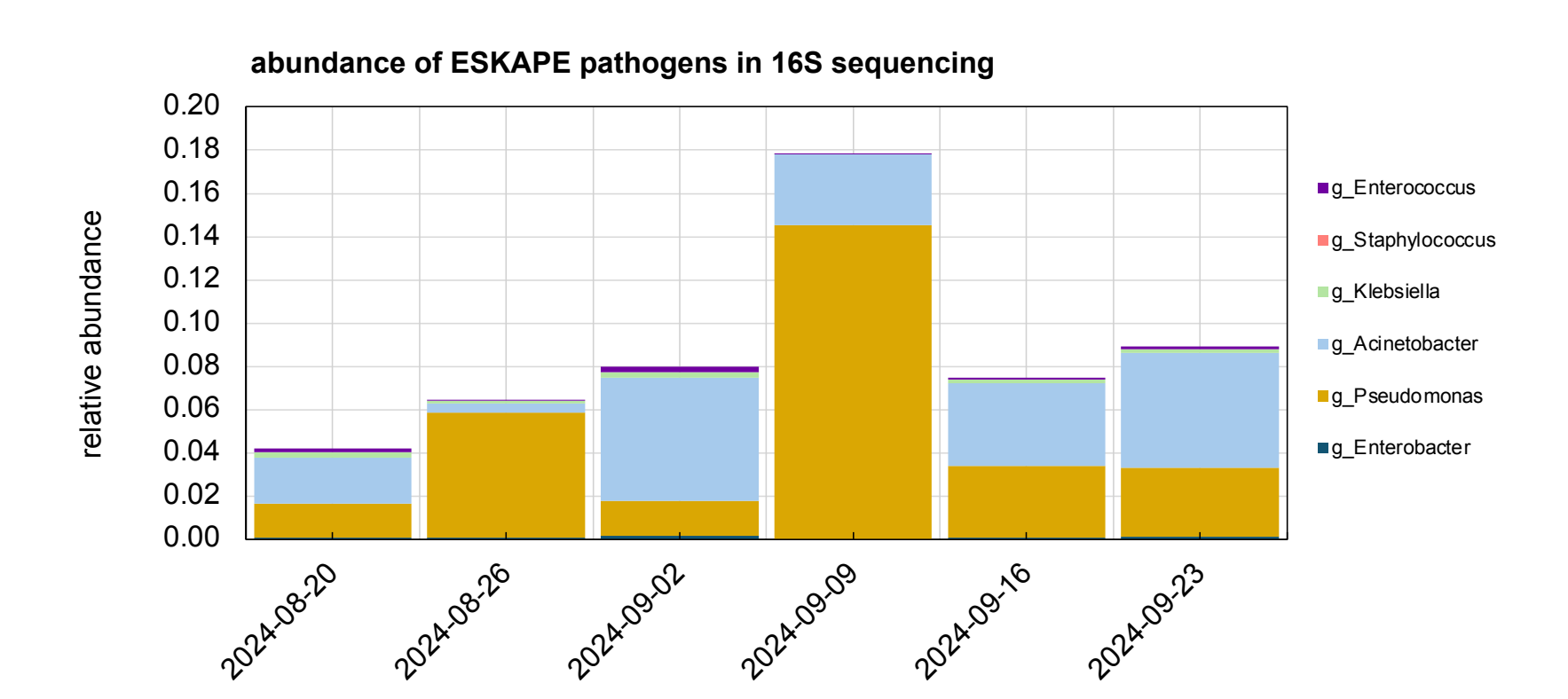




- OXA-48 ist relativ überraschend, eher KH
- keine Information über Spezies
- keine Information für Behandlung (neue Resistenz in Organismus X)



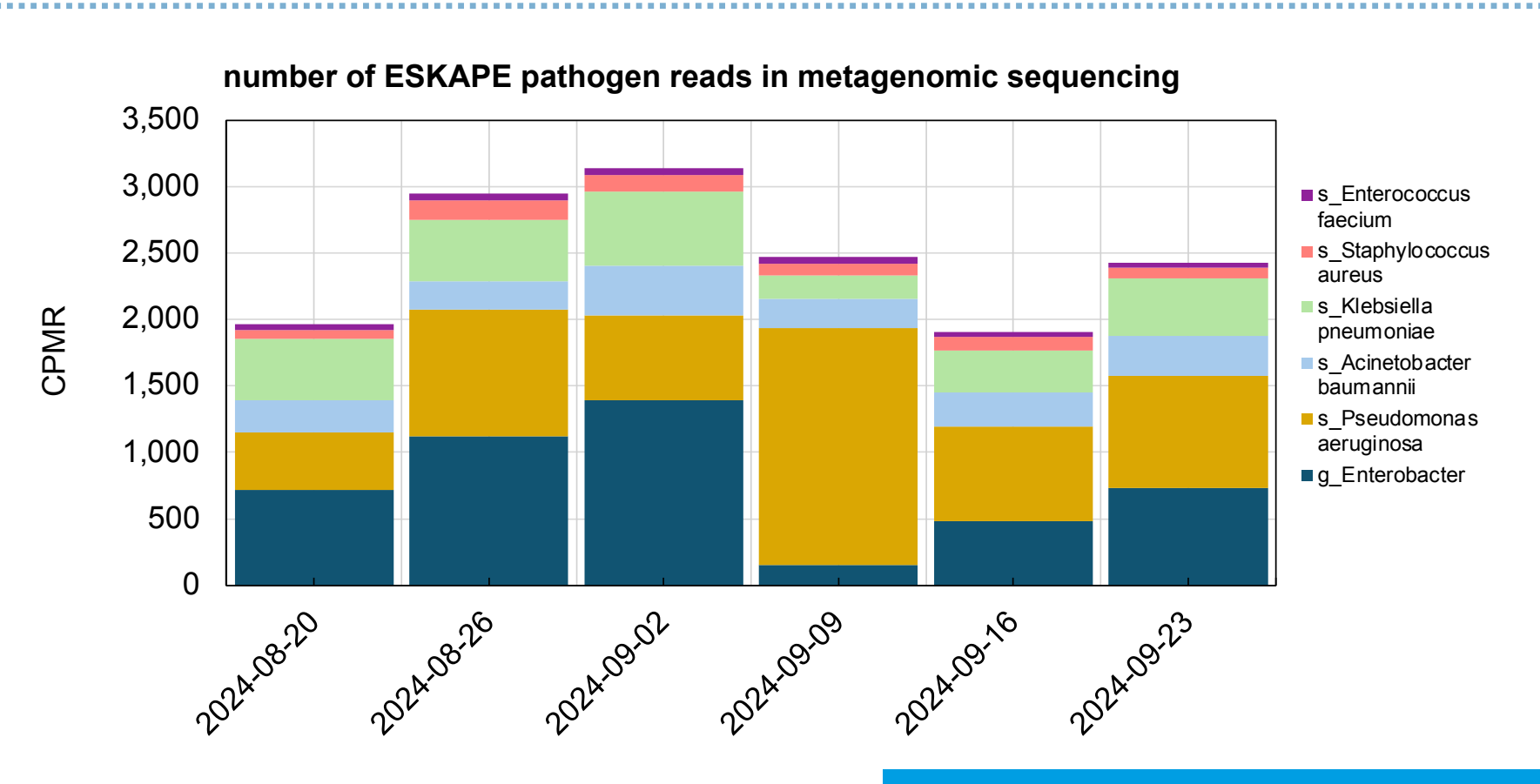




- zeigt gemeldete Klebsiellen
- Daten auf Genus Ebene
- keine Staphylokokken?



Shotgun Metagenomik für ESKAPE Pathogene

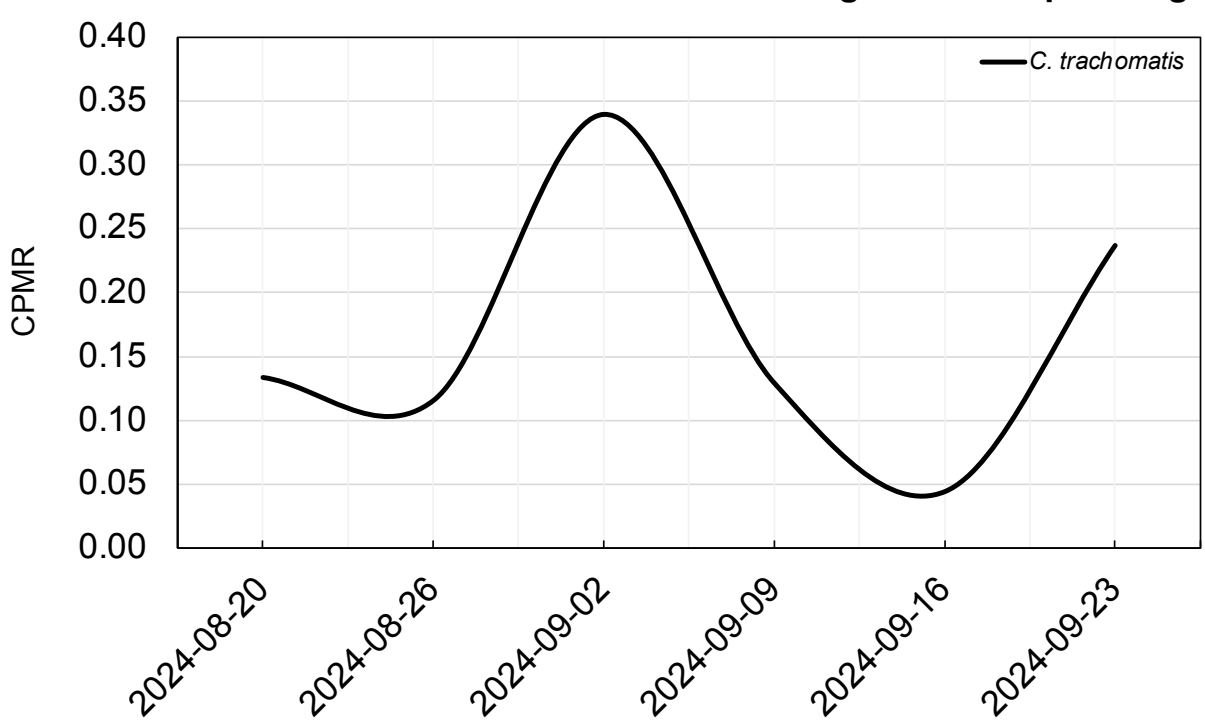


- Trend ist ähnlich
- auf Spezies Ebene
- Staphylokokken sind präsent





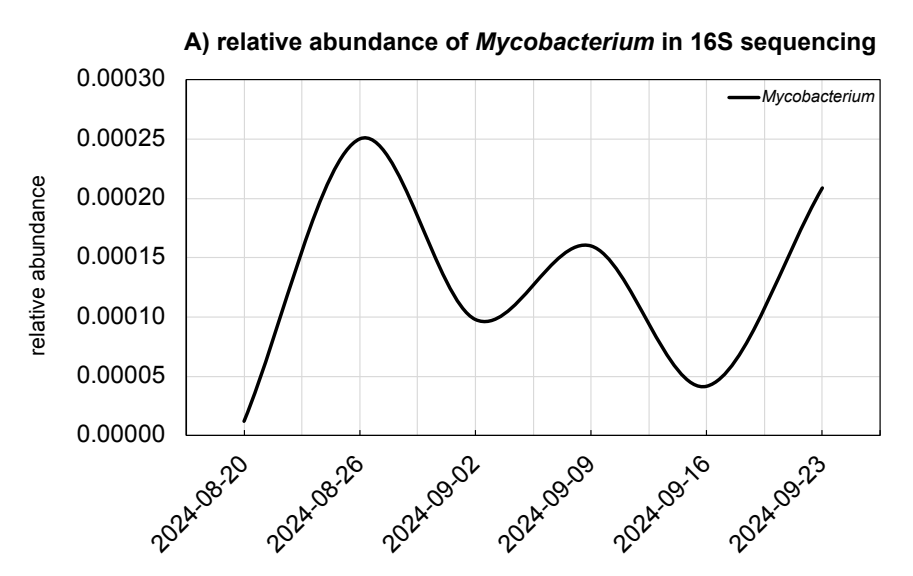


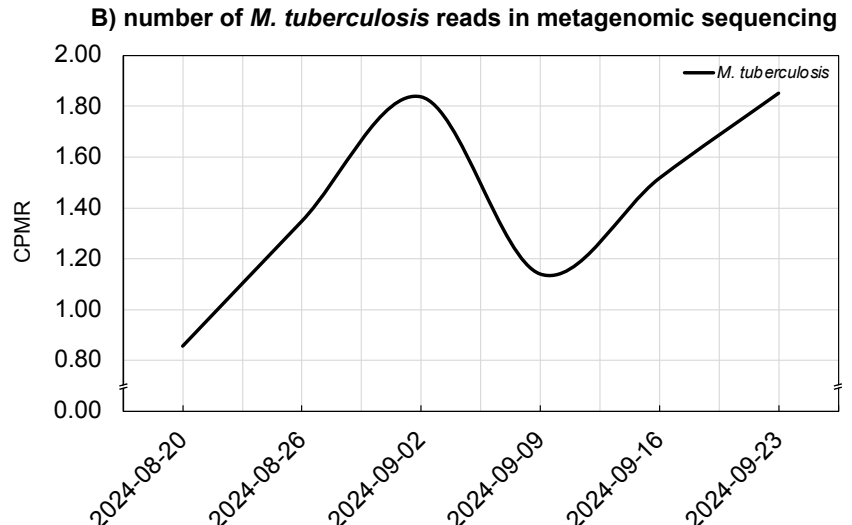


- STI gefunden
- ogligat pathogen
- niedrige Abundanz aber eindeutig

Beifang: Mycobacterium tuberculosis



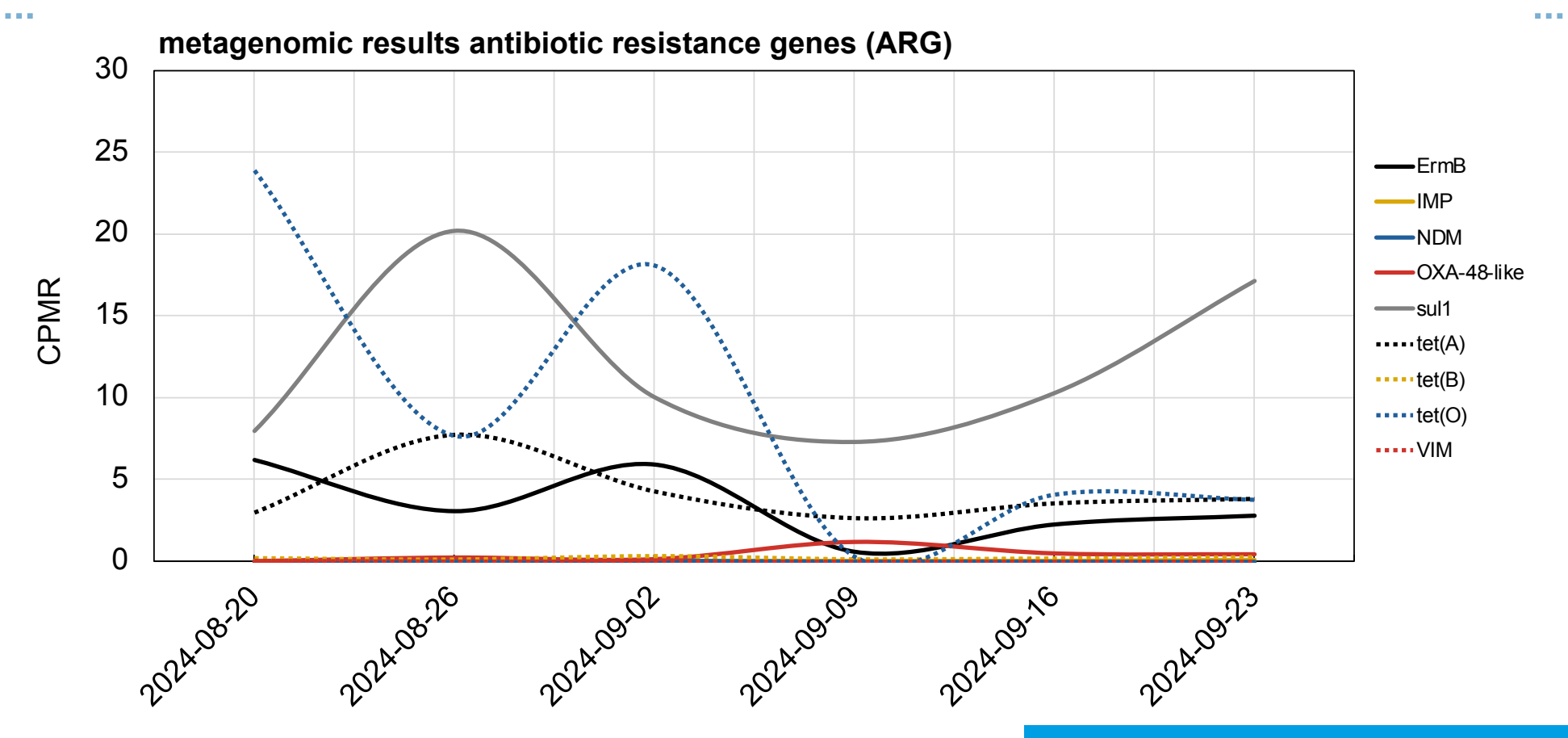




- Mycobacterium tuberculosis gefunden
- obligat pathogen
- meldepflichtig und beunruhigend



Resistenzgene mittels Shotgun Metagenomik



- NDM + IMP fehlen wieder
 - ErmB + sul1 sind relativ häufig
- Tremds bestätigt

Viele Spezies mit Resistenzen gefunden



| reads mapped on ARGs | %reads mapped o | | | #different ARGs |
|-------------------------|-----------------|-------|-----|--------------------|
| 220,952 | (| 0.10% | 221 | 163 |
| 267,675 | (| 0.13% | 229 | 165 |
| 236,029 | (| 0.11% | 243 | 175 |
| 153,196 | C | 0.09% | 84 | 69 |
| 109,615 | (| 0.08% | 182 | 149 |
| 150,358 | C | 0.10% | 203 | 153 |

- weniger ARGs als Durchschnitt
- ~0.1% aller Sequenzen sind ARGs
- aufwändige Analyse





| contins | classification | with | WHO | druge | |
|---------|----------------|------|-----|-------|--|
| | | | | | |

| sampleID | Contig | contig_len level | classification | ARG_count | carbapenem | cephalosporin | fluoroquinolone | glycopeptide | vancomycin | macrolide | penicillin beta-lacta | m ampicillin | methicillin | penicillin | rifamycin | rifa |
|----------|--------------|------------------|---|-----------|------------|---------------|-----------------|--------------|------------|-----------|-----------------------|--------------|-------------|------------|----------------|-------------|
| MM2401 | k141_1637302 | 28584 genus | Klebsiella | 1 | no | no | no | no | no | no | no | no | no | no | no | no |
| MM2401 | k141_874246 | 6596 genus | Bifidobacterium | 1 | no | no | no | no | no | no | no | no | no | no | yes | yes |
| WMM2401 | k141_700326 | 10196 genus | Klebsiella | 1 | no | no | no | no | no | no | no | no | no | no | no | no |
| WMM2401 | k141_8687 | 10937 genus | Klebsiella | 1 | no | no | no | no | no | no | no | no | no | no | no | no |
| VMM2401 | k141_1579235 | 513 genus | Enterobacter | 1 | no | yes | yes | no | no | no | yes | yes | no | no | yes | yes |
| WMM2401 | k141_1984705 | 7176 genus | Klebsiella | 2 | yes | yes | yes | no | no | no | yes | yes | no | no | yes | yes |
| WMM2401 | k141_39342 | 592 species | Acidovorax sp. HMWF029 | 1 | no | no | no | no | no | no | no | no | no | no | no | no |
| WMM2401 | k141_1057004 | 1513 species | Rheinheimera sp. MM224 | 1 | no | no | no | no | no | no | no | no | no | no | no | no |
| VMM2401 | k141_1017155 | 1155 genus | Enterobacter | 1 | no | yes | yes | no | no | no | yes | yes | no | no | yes | yes |
| WMM2401 | k141_743897 | 2030 species | Roseburia sp. AM16-25 | | no | no | no | yes | yes | no | no | no | no | no | no | no |
| WMM2401 | k141_281559 | 3707 species | Rheinheimera faecalis | 1 | no | no | yes | no | no | no | no | no | no | no | no | no |
| /WMM2401 | k141_560945 | 8869 species | Phocaeicola plebeius | 1 | no | no | no | no | no | yes | no | no | no | no | no | no |
| VWMM2401 | k141_599296 | 1768 genus | Citrobacter | 1 | no | yes | yes | no | no | no | yes | yes | no | no | yes | yes |
| /WMM2401 | k141_117028 | 1089 species | Bacteroides fragilis | 1 | no | no | no | no | no | no | no | no | no | no | no | no |
| | k141_1713921 | 793 genus | Klebsiella | 1 | no | no | no | no | no | no | no | no | no | no | no | no |
| | k141_1676844 | 5124 genus | Klebsiella | | yes | yes | yes | no | no | yes | yes | no | no | no | no | no |
| | k141_497016 | 13867 species | | | no | no | yes | no | no | no | no | no | no | no | no | no |
| | k141_359940 | - | Geobacter | | yes | yes | no | no | no | no | yes | yes | no | no | no | no |
| | k141 779770 | | Lachnospira sp. CLA-JM-H23 | | no | no | no | yes | ves | no | no | no | no | no | no | no |
| | k141_348436 | 11337 genus | Blautia | | no | no | no | yes | yes | no | no | no | no | no | no | no |
| | k141_1291374 | 5972 genus | Klebsiella | | no | no | no | no | no | no | no | no | no | no | no | no |
| | k141_1849154 | | Klebsiella | | ves | no | no | no | no | no | no | no | no | no | yes | yes |
| | k141_2196910 | | Escherichia coli | | no | no | ves | no | no | no | no | no | no | no | no | no |
| | k141_74627 | 9197 genus | | | no | yes | no | no | no | no | yes | ves | no | no | no | no |
| | k141_499397 | | uncultured Tolumonas sp. | | no | no | ves | no | no | no | no | no | no | no | no | no |
| | k141 1079532 | - | Escherichia coli | | no | no | no | no | no | no | no | no | no | no | no | no |
| | k141_1185173 | 9857 genus | Bacteroides | | no | ves | no | no | no | no | no | no | no | no | no | no |
| | k141_1534541 | | Escherichia coli | | no | yes | yes | no | no | no | yes | ves | no | no | yes | ves |
| | k141 1884028 | - | Vescimonas coprocola | | no | no | no | yes | ves | no | no | no | no | no | no | no |
| | k141_1397038 | - | Bifidobacterium | | no | no | no | yes | yes | no | | | | | | |
| | k141_1577572 | 1616 genus | Citrobacter | | no | no | no | no | no | no - | - Aus | schr | hitt | dar | TOP | te |
| | k141_1324279 | 2381 species | | | no | no | no | no | no | no | Aus | 30111 | 1100 | uai | SC | , |
| | k141_208971 | | Pseudomonas alcaligenes | | no | no | ves | no | no | no | امنیر | _ A D | 0 | : | <i>(</i> i a l | - 16 |
| | k141_557726 | | Aliarcobacter cryaerophilus | | no | no | no | no | no | yes | - viel | e AK | US | In \ | лег | en |
| | k141_2093858 | 1777 genus | Citrobacter | | no | no | no | no | no | no | no | no | no | no | no | no |
| | k141_779475 | | Bittarella massiliensis (ex Durand et al. 2017) | | no | no | no | yes | ves | no | no | no | no | no | no | no 🔳 |
| | k141_779473 | - | Thalassotalea crassostreae | | no | no | ves | no | no | no | no | no | no | no | no | no |
| | k141_1013804 | | uncultured Acetatifactor sp. | | no | no | no | yes | ves | no | no | no | no | no | no | no |
| | K141_633044 | 730 species | · · | | 110 | | 110 | yes | , 33 | 1.0 | 110 | 110 | 110 | 110 | 110 | 110 |





| WHO group | taxonomy | resistance | 20.08.2024 | 26.08.2024 | 02.09.2024 | 09.09.2024 | 16.09.2024 | 23.09.2024 |
|-----------|-------------------------|-----------------|------------|------------|------------|------------|------------|------------|
| criticai | | | | | | | | |
| | oEnterobacterales | cephalosporin | 3 | 5 | 4 | 0 | 2 | 1 |
| | oEnterobacterales | carbapenem | 3 | 3 | 4 | 0 | 1 | 1 |
| | | | | | | | | |
| | gSalmonella | fluoroquinolone | 2 | 3 | 3 | 0 | 0 | 0 |
| | gShigella | fluoroquinolone | 3 | 3 | 3 | 0 | 0 | 0 |
| | | | | | | | | |
| | sPseudomonas aeruginosa | carbapenem | 0 | 0 | 0 | 0 | 0 | 1 |
| | sNeisseria gonorrhoeae | fluoroquinolone | 0 | 0 | 0 | 0 | 0 | 0 |
| | | | | | | | | |
| | | | | | | 11 | | |

Technisches Problem

- MAG = metagenome assembled
 genome; pseudo-klonales Genom
- Erlaubt bessere Betrachtung
- Nur abundante Spezies in MAGs

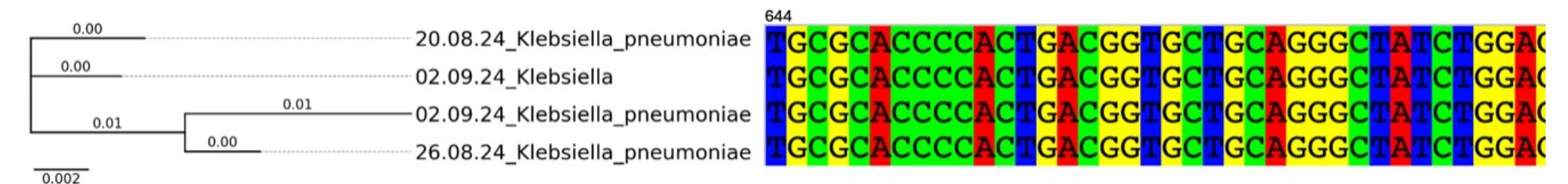
- Reduktion der Komplexität
- 45 MAGs mit ARGs gefunden
- 2 von 4 WHO "critical" Erregern
- 4 von 7 WHO "high" Erregern

Klebsiella pneumoniae mit Carbapenemase gefunden



- Klebsiella Pneumoniae mit Carbapenem Resistenz gefunden
- Jeweils 1 Stamm aus den 6 Wochen ist sehr ähnlich
- Fund früher als Meldung nach IfSG

- Genotypen aus MAG rekonstruierbar
- Phylogenetische Analyse möglich
- "Aufblühen" erkennbar
- dienen als Referenzen

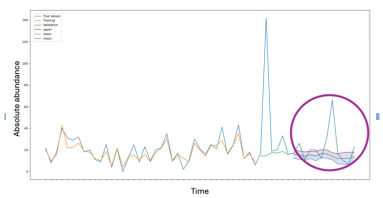


Zusammenfasssung



- alle gemeldeten Viren und Bakterien gefunden <u>und mehr</u>
- qPCR
 - sehr informativ f
 ür Viren
 - weniger informativ für Resistenz
- 16S zeigt Trends
- Metagenom zeigt
 - Resistenzen und Spezies
 - "Neue" Spezies
 - Genotypen, ermöglicht Vergleich

- Funde sind deutlich früher als Meldungen
- Nur qPCR kommt ohne Informatik aus
- Offene Fragen
 - Welche "Signalstärke" ist relevant?
 - Vergleich zu kulturbasierten Ansätzen
 - Wie soll der ÖGD damit umgehen?
 - Datenfluß zu KH Hygiene
 - KI-Modelle als Frühwarnsystem?
 - Vorhersagehorizont





The Partners





- Susanne Moebus
- Dennis Schmiege



- Torsten Schmidt
- Alex Probst



EGLV

Emschergenossenschaft Lippeverband

- Jens Schoth
- Tina Schmidt



- Dag Harmsen



- Jan Buer
- Jan Kehrmann
- Evelyn Heintschel von Heinega



- Ulf Dittmer
- Mirko Trilling
- Khanh Le-Trilling



- Alexander Mellmann
- Frieder Schaumburg



- Ricarda Schmithausen
- Richard Egelkamp



- Volker Linnemann





- **Christin Seifert** Jörg Schlötterer
- -Frank-Andreas Weber
 - Marek Widera
 - Alexander Wilhelm



Virol gie

- Robert Heyer





- Miriam Balzer
- Katharina Block
- Leah Consten
- Adrian Dörr
- Ann-Kathrin Dörr
- Jule Gosch
- Ivana Kraiselburd
- Simon Magin

- Shivohum Nishad

- Ricarda Schmithausen
- Alexander Thomas

The Team

- Julian Welling
- Josefa Welling



aufgrund eines Beschlusses des Deutschen Bundestages

Bundesministerium







Stiftung Zukunft NRW









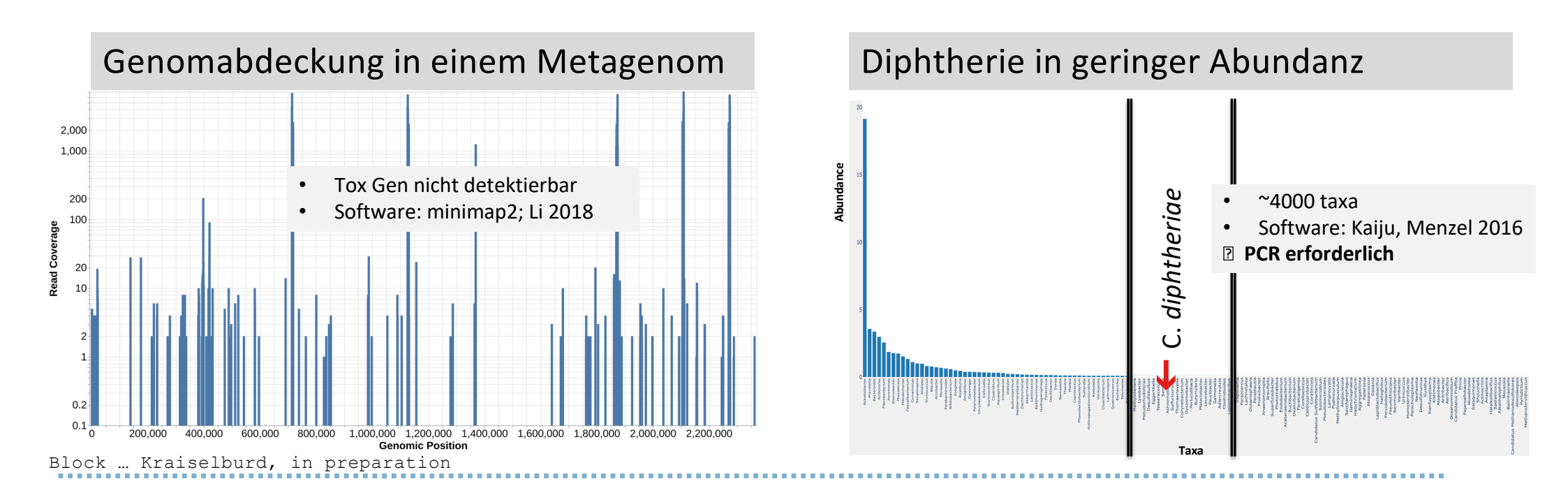
AMR- Surveillance in Abwasser: verfügbare Technologien

| Technology | phenotype | genotype | taxonomy | established | cost | sensitivity | discovery |
|-------------|-----------|----------|----------|-------------|--------|-------------|-----------|
| Kultur | + | - | +/- | +++ | \$ | + | +/- |
| q/dPCR | - | - | - | + | \$ | ++ | - |
| epicPCR | - | + | + | +/- | \$ | ++ | - |
| Metagenomik | - | ++ | ++ | + | \$\$\$ | - | ++ |

- > Präsenz von AMR-Genen in spezifischen Organismen => klinisch/ÖGD relevante Information
- epicPCR kombiniert Sensitivität, taxonomische Informationen und Genotyp und ermöglicht die Entdeckung neuer AMR-Pathogen-Kombinationen
- Metagenomik ermöglicht die Entdeckung neuer AMR Genotype (Mutationen/Varianten), aber nur bei (relativ) abundanten Organismen



- Nach Frage aus GA: Suche nach C. diphtheriae in >150 Shotgun-Metagenomen aus KA im Nord-NRW
- alle Metagenome sind positiv für Diphtherie (geringe Abundanz) => wichtig für ÖGD und Krankenhäuser
- Diphterie aufgrund sehr niedriger Inzidenz in der Routine oft übersehen (Zitat Kliniker)
- Deutschlandweit 2021-> 2022/3 Anstieg um 750%

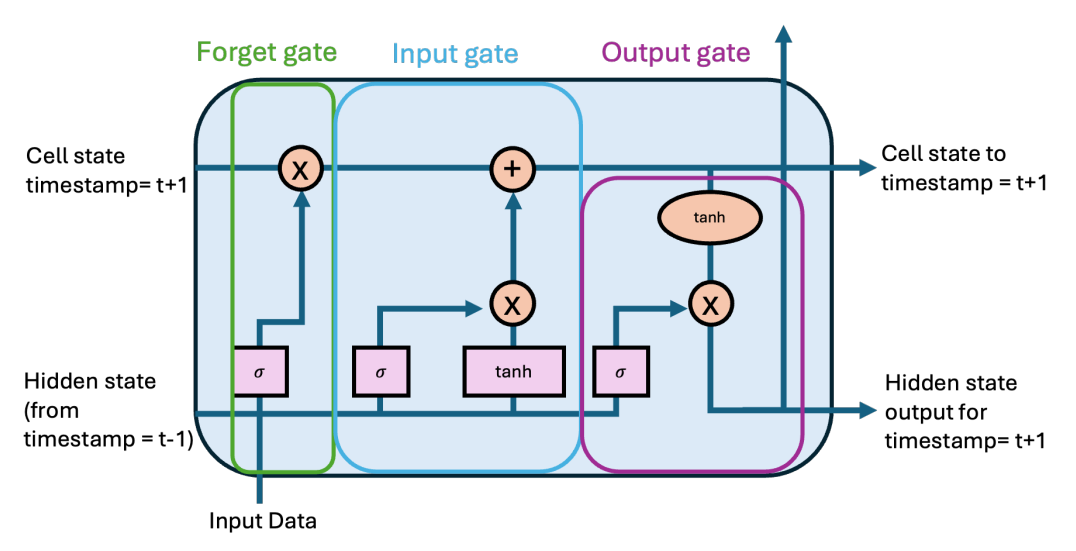




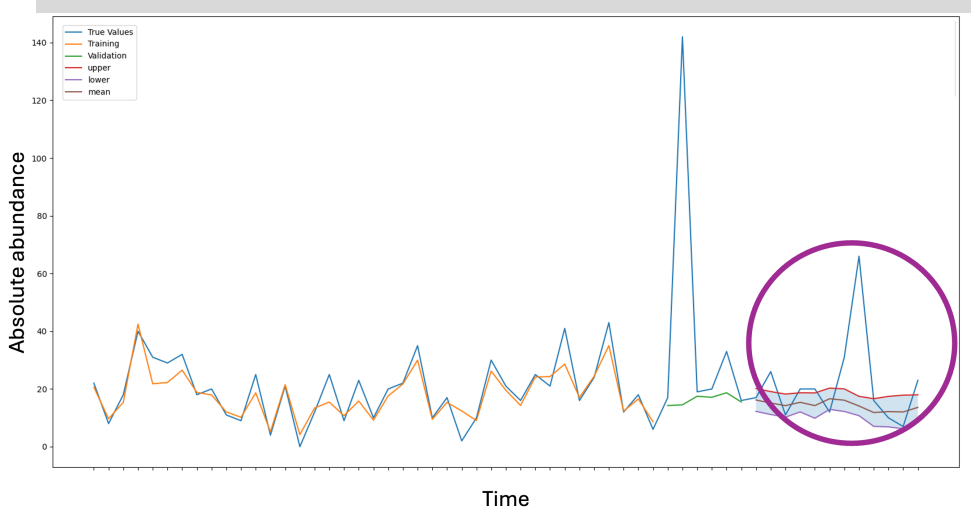


Erkennung von ungewöhnlichen Variationen bei der Routine-Surveillance von Bakterien im Abwasser durch LSTM-Modell

- Modelltraining mit Zeitseriendaten
 - Längere Serien verbessern Vorhersage
- Frühwarnsystem für den ÖGD?
- verstärkte Surveillance bei Abweichungen
- Fokus auf Pathogene



Vorhersageinterval für ein Pathogen



Doerr, et al, Scientific Reports, 2025